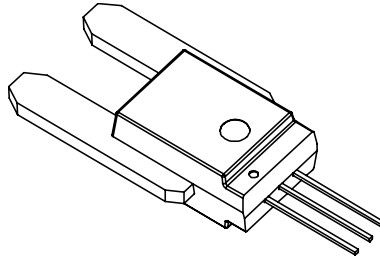


电流传感器

产品型号:

AN1V 50 PB21
AN1V 100 PB21
AN1V 150 PB21
AN1V 200 PB21



本传感器的原边与副边之间是绝缘的，用于测量直流、交流和脉冲电流...

特性

- ◇ 基于霍尔原理的开环电流传感器
- ◇ AISC技术
- ◇ 保持与电源变化的成比例输出（包括零点和增益）
- ◇ 原边和副边之间绝缘
- ◇ 原材料符合UL 94-V0
- ◇ 没有插入损耗
- ◇ 体积小
- ◇ 执行标准:
 - EN50178: 1997
 - IEC 61010-1: 2000
 - UL 508: 2010

应用领域

- ◇ 交流变频调速
- ◇ 不间断电源 (UPS)
- ◇ 直流电机驱动的静止式变流器
- ◇ 开关电源 (SMPS)
- ◇ 电焊机电源
- ◇ 电池管理
- ◇ 风能变频器

安全使用须知

传感器使用必须遵循 IEC61010-1 标准。

传感器必须按照使用说明要求安放在符合应用标准和安全要求的电子或电气设备中。

注意，小心电击。



传感器工作时，某些部位可能会承受危险电压（如原边母排、电源），忽视这些将导致损坏和严重危险。传感器是内置式设备，在安装完毕后其导电部分一定要保证不被外界触及。必要时可加装保护壳或屏蔽罩。主电源必须能被断开。

AN1V PB21

最大限值

参数	符号	单位	数值
供电电压	V_C	V	6
输出电流（输出对地短路）	I_{out}	mA	4
静电放电-接触放电	V_{ESD}	V	4000

- ※ 超过以上限值使用，可能造成传感器的永久损坏。
- ※ 长时间暴露在以上限值环境中，可能会降低产品的可靠性。

环境和产品结构特性

参数	符号	单位	最小值	典型值	最大值	备注
操作温度	T_A	°C	-40		150	AN1V 50 PB21
			-40		150	AN1V 100 PB21
			-40		125	AN1V 150 PB21
			-40		85	AN1V 200 PB21
存储温度	T_S	°C	-55		165	
原边电阻值	R_P	$\mu\Omega$		100		
质量	m	g		5		
标准	EN 50178, IEC 61010-1, UL 508					

绝缘特性

参数	符号	单位	数值	备注
交流隔离耐压测试有效值 @ 50Hz,1min	V_d	kV	4.8	
外壳材料	-	-	UL94-V0	
比较路径指数	CTI	PLC	3	
应用实例	-	-	450V CAT III PD2	加强绝缘，参照 EN 50178, EN 61010-1 标准
应用实例	-	-	700V CAT III PD2	基本绝缘，参照 EN 50178, EN 61010-1 标准

AN1V 50 PB21

※ 除非有其他说明，以下数据测试环境基于条件 $T_A = 25^\circ\text{C}$, $V_C = 5\text{V}$, $R_L = 10\text{k}\Omega$

参数	符号	单位	最小值	典型值	最大值	备注
电气参数						
原边额定电流有效值	I_{PN}	A	-50		50	
供电电压	V_C	V	4.5	5.0	5.5	
输出电压	V_{OUT}	V	$V_{OUT} = (V_C/5) \times (2.5 + G_{th} \times I_P)$			@ V_C
零点输出电压	V_{00V}	V		2.5		@ $V_C=5\text{V}$ 且 $I_P=0\text{A}$
理论增益	G_{th}	mV/A		40		
电流消耗	I_C	mA		11	15	
负载电阻	R_L	k Ω	5			
负载电容	C_2	nF		1.5	5	
电源滤波电容	C_1	nF		100		
性能参数						
增益误差	ϵ_G	%	-1		1	
增益误差的温度漂移	TCG	%	-1		1	@ $T_A = -40^\circ\text{C} \sim 150^\circ\text{C}$
零点误差	V_{0E}	mV	-20	± 5	20	@ $V_C=5\text{V}$ 且 $I_P=0\text{A}$
零点误差的温度漂移	TCV_{0E}	mV		± 35		@ $T_A = -40^\circ\text{C} \sim 150^\circ\text{C}$
磁失调电压	V_{0M}	mV		± 4		@ $V_C=5\text{V}$, 在 $\pm I_{PN}$ 后测量
非线性误差	ϵ_L	% of I_{PN}	-1		1	不包含零点 V_{0E}
精度 @ I_{PN}	X	% of I_{PN}	-3		3	@ $T_A = -40^\circ\text{C} \sim 150^\circ\text{C}$
上电稳定时间	t_{POD}	μs		10		
跟踪时间@ 90%的 I_{PN}	t_r	μs		4	5	@ $C_2=1\text{nF}$
输出带宽(-3dB)	BW	kHz		120		@ $C_2=1\text{nF}$
输出噪声	V_{no}	mV		10		@ $C_2=1\text{nF}$

AN1V 100 PB21

※ 除非有其他说明，以下数据测试环境基于条件 $T_A = 25^\circ\text{C}$, $V_C = 5\text{V}$, $R_L = 10\text{k}\Omega$

参数	符号	单位	最小值	典型值	最大值	备注
电气参数						
原边额定电流有效值	I_{PN}	A	-100		100	
供电电压	V_C	V	4.5	5.0	5.5	
输出电压	V_{OUT}	V	$V_{OUT} = (V_C/5) \times (2.5 + G_{th} \times I_P)$			@ V_C
零点输出电压	V_{00V}	V		2.5		@ $V_C=5\text{V}$ 且 $I_P=0\text{A}$
理论增益	G_{th}	mV/A		20		
电流消耗	I_C	mA		11	15	
负载电阻	R_L	k Ω	5			
负载电容	C_2	nF		1.5	5	
电源滤波电容	C_1	nF		4.7		
性能参数						
增益误差	ϵ_G	%	-1		1	
增益误差的温度漂移	TCG	%	-1.5		1.5	@ $T_A = -40^\circ\text{C} \sim 150^\circ\text{C}$
零点误差	V_{0E}	mV		± 5		@ $V_C=5\text{V}$ 且 $I_P=0\text{A}$
零点误差的温度漂移	TCV_{0E}	mV		± 35		@ $T_A = -40^\circ\text{C} \sim 150^\circ\text{C}$
磁失调电压	V_{0M}	mV		± 6		@ $V_C=5\text{V}$, 在 $\pm I_{PN}$ 后测量
非线性误差	ϵ_L	% of I_{PN}	-1		1	不包含零点 V_{0E}
精度 @ I_{PN}	X	% of I_{PN}	-3		3	@ $T_A = -40^\circ\text{C} \sim 150^\circ\text{C}$
上电稳定时间	t_{POD}	μs		10		
跟踪时间@ 90%的 I_{PN}	t_r	μs		4	5	@ $C_2=1\text{nF}$
输出带宽(-3dB)	BW	kHz		120		@ $C_2=1\text{nF}$
输出噪声	V_{no}	mV		6		@ $C_2=1\text{nF}$

AN1V 150 PB21

※ 除非有其他说明，以下数据测试环境基于条件 $T_A = 25^\circ\text{C}$, $V_C = 5\text{V}$, $R_L = 10\text{k}\Omega$

参数	符号	单位	最小值	典型值	最大值	备注
电气参数						
原边额定电流有效值	I_{PN}	A	-150		150	
供电电压	V_C	V	4.5	5.0	5.5	
输出电压	V_{OUT}	V	$V_{OUT} = (V_C/5) \times (2.5 + G_{th} \times I_P)$			@ V_C
零点输出电压	V_{00V}	V		2.5		@ $V_C=5\text{V}$ 且 $I_P=0\text{A}$
理论增益	G_{th}	mV/A		13.33		
电流消耗	I_C	mA		11	15	
负载电阻	R_L	k Ω	5			
负载电容	C_2	nF		1.5	5	
电源滤波电容	C_1	nF		4.7		
性能参数						
增益误差	ϵ_G	%	-1		1	
增益误差的温度漂移	TCG	%	-2		2	@ $T_A = -40^\circ\text{C} \sim 125^\circ\text{C}$
零点误差	V_{0E}	mV		± 5		@ $V_C=5\text{V}$ 且 $I_P=0\text{A}$
零点误差的温度漂移	TCV_{0E}	mV		± 35		@ $T_A = -40^\circ\text{C} \sim 125^\circ\text{C}$
磁失调电压	V_{0M}	mV		± 6		@ $V_C=5\text{V}$, 在 $\pm I_{PN}$ 后测量
非线性误差	ϵ_L	% of I_{PN}	-1		1	不包含零点 V_{0E}
精度 @ I_{PN}	X	% of I_{PN}	-3		3	@ $T_A = -40^\circ\text{C} \sim 125^\circ\text{C}$
上电稳定时间	t_{POD}	μs		10		
跟踪时间@ 90%的 I_{PN}	t_r	μs		4	5	@ $C_2=1\text{nF}$
输出带宽(-3dB)	BW	kHz		120		@ $C_2=1\text{nF}$
输出噪声	V_{no}	mV		4		@ $C_2=1\text{nF}$

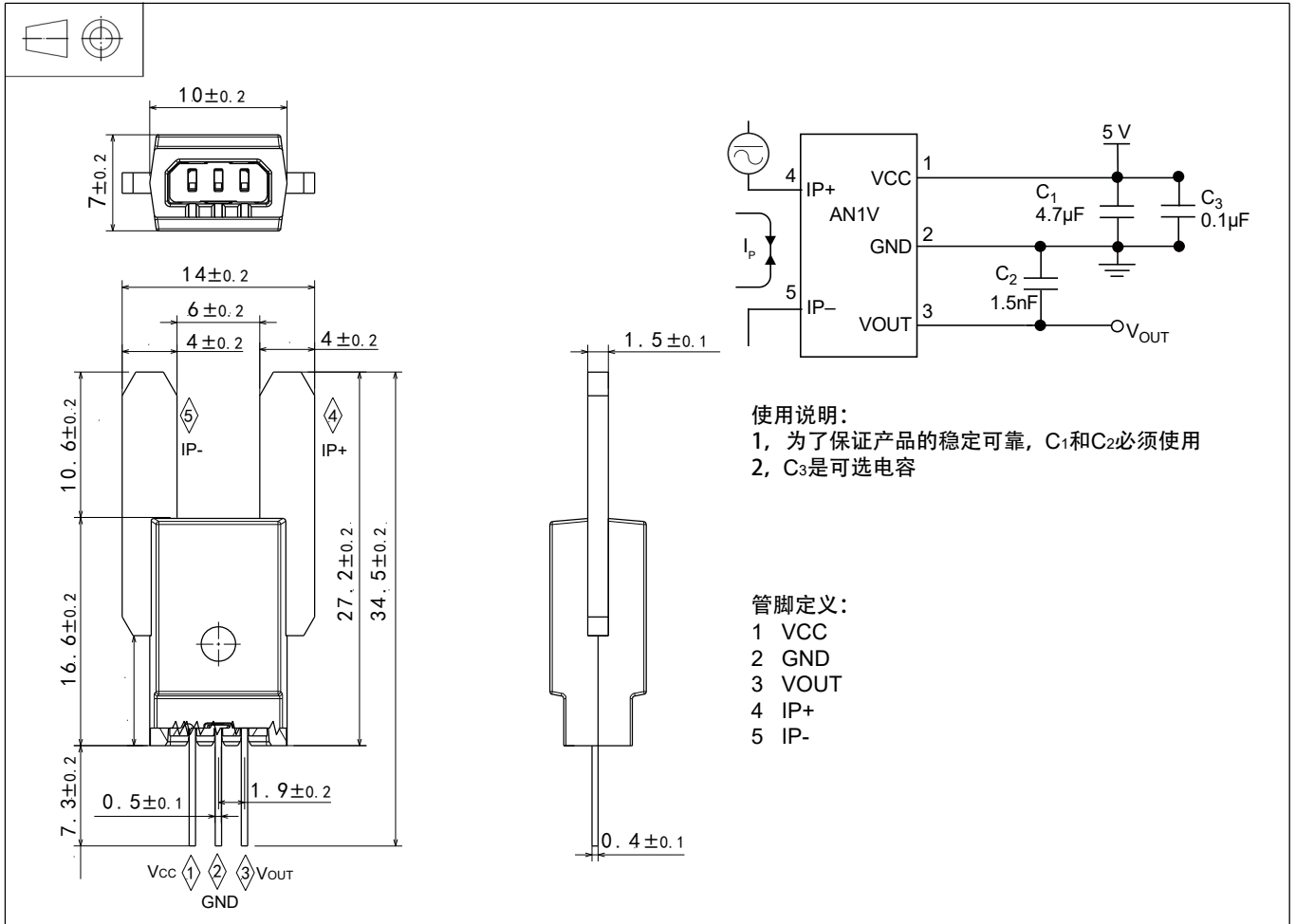
AN1V 200 PB21

※ 除非有其他说明，以下数据测试环境基于条件 $T_A = 25^\circ\text{C}$, $V_C = 5\text{V}$, $R_L = 10\text{k}\Omega$

参数	符号	单位	最小值	典型值	最大值	备注
电气参数						
原边额定电流有效值	I_{PN}	A	-200		200	
供电电压	V_C	V	4.5	5.0	5.5	
输出电压	V_{OUT}	V	$V_{OUT} = (V_C/5) \times (2.5 + G_{th} \times I_P)$			@ V_C
零点输出电压	V_{00V}	V		2.5		@ $V_C=5\text{V}$ 且 $I_P=0\text{A}$
理论增益	G_{th}	mV/A		10		
电流消耗	I_C	mA		11	15	
负载电阻	R_L	k Ω	5			
负载电容	C_2	nF		1.5	5	
电源滤波电容	C_1	nF		4.7		
性能参数						
增益误差	ϵ_G	%	-1		1	
增益误差的温度漂移	TCG	%	-2		2	@ $T_A = -40^\circ\text{C} \sim 85^\circ\text{C}$
零点误差	V_{0E}	mV		± 5		@ $V_C=5\text{V}$ 且 $I_P=0\text{A}$
零点误差的温度漂移	TCV_{0E}	mV		± 35		@ $T_A = -40^\circ\text{C} \sim 85^\circ\text{C}$
磁失调电压	V_{0M}	mV		± 6		@ $V_C=5\text{V}$, 在 $\pm I_{PN}$ 后测量
非线性误差	ϵ_L	% of I_{PN}	-1		1	不包含零点 V_{0E}
精度 @ I_{PN}	X	% of I_{PN}	-3		3	@ $T_A = -40^\circ\text{C} \sim 85^\circ\text{C}$
上电稳定时间	t_{POD}	μs		10		
跟踪时间@ 90%的 I_{PN}	t_r	μs		4	5	@ $C_2=1\text{nF}$
输出带宽(-3dB)	BW	kHz		120		@ $C_2=1\text{nF}$
输出噪声	V_{no}	mV		6		@ $C_2=1\text{nF}$

AN1V PB21

产品尺寸(单位 mm)



机械特性

- ◇ 磁芯材料 硅钢
- ◇ 铜排和管脚材料 紫铜镀锡

备注

- ◇ 参考使用说明配置电路参数